

**5504515 Schulserie D (Ergänzung zu A, B und C). 50 Präparate**

*Histologie und Menschenkunde*

- 751c **Flimmerepithel**, Querschnitt durch den Eileiter vom Schwein
- 752d **Sehne vom Rind**, längs. Straffes Bindegewebe
- 753f **Herzmuskulatur** vom Menschen, quer und längs. Verzweigte Muskelfasern, Glanzstreifen
- 754c **Lymphdrüse** vom Schwein, quer
- 755c **Speiseröhre** (Ösophagus) der Katze, quer
- 756d **Magen** der Katze, Fundusregion quer. Magendrüsen
- 757d **Dickdarm** der Katze, quer. Färbung der Schleimzellen
- 758d **Bauchspeicheldrüse** (Pankreas) vom Schwein, quer, mit Langerhansschen Inseln.
- 759d **Schilddrüse** vom Schwein, quer. Drüsenepithel, Kolloid
- 760d **Nebenniere** der Katze, quer. Mark- und Rindenzone
- 761d **Samenfäden** (Spermatozoen) vom Rind, Ausstrich
- 762e **Motorische Nervenzellen**. Ausstrich aus dem Rückenmark
- 763f **Großhirn** vom Menschen, quer. Pyramidenzellen
- 764d **Haut** vom Menschen, Schnitt durch die Haut der Handfläche. Verhorntes Epithel, Keimschichten, Schweißdrüsen

*Zoologie*

- 765f **Distomum hepaticum (Fasciola)**, großer Leberegel, total
- 766f **Taenia spec.**, Bandwurm, reife Glieder (Proglottiden), total.
- 767e **Culex pipiens**, Stechmücke, Kopf und Mundteile vom Weibchen. Stechend-saugende Mundwerkzeuge
- 768e **Culex pipiens**, Kopf und reduzierte Mundteile vom Männchen.
- 769f **Cimex lectularius**, Bettwanze, Totalpräparat

*Zytologie und Genetik*

- 770f **Mitochondrien** in den Zellen von Leber oder Niere, Darstellung durch Spezialfärbung
- 771g **Golgi-Apparat** in den Zellen des Spinalganglions, Darstellung durch Spezialfärbung
- 772d **Chloroplasten**, Darstellung durch Spezialfärbung
- 773c **Aleuronkörner**, Schnitt durch das Endosperm von Ricinus
- 774f **Speicherung**, Darstellung durch Vitalfärbung mit Trypanblau im Schnitt durch Leber oder Niere
- 775g **DNA in Zellkernen**, Darstellung durch Feulgen-Reaktion
- 776g **DNA und RNA**, Darstellung beider Substanzen in unterschiedlicher Färbung mit Methylgrün-Pyronin
- 777f **Riesenchromosomen** aus der Speicheldrüse der Chironomus-Larve. Einzeln sichtbare Chromomerescheiben, Puffs
- 778h **Chromosomen des Menschen** im Metaphase-Stadium, ausgebreitet und einzeln identifizierbar
- 779f **Meiose- und Mitosestadien** im Schnitt durch den Hoden vom Flußkreb (Astacus), Kernspindeln
- 780f **Reifeteilungen** in den Eiern vom Pferdespulwurm (Ascaris), Eisenhämatoxylin-Färb.
- 781f **Furchungsteilungen** in den Eiern vom Pferdespulwurm (Ascaris), Eisenhämatoxylin-Färbung

*Krankheitserreger und erkrankte Organe*

- 782d **Escherichia coli**, Darmbakterien, Ausstrich. Gramfärbung
- 783d **Eberthella typhi**, Typhusbakterien, Ausstrich. Gramfärbung
- 784e **TBC-Lunge** (Miliartuberkulose) des Menschen, quer
- 785e **Kohlenstaublunge** (Anthraxosis) des Menschen, quer. (Raucherlunge)
- 786e **Leberzirrhose** des Menschen, quer
- 787e **Arterienverkalkung** des Menschen, quer. Ablagerungen innerhalb der Blutgefäße
- 788e **Krebs-Metastasen** (Karzinom), Leber des Menschen, quer. Krebszellen in verschiedenen Formen

*Embryologie*

- 789e **Seeigel Entwicklung** (Psammechinus miliaris): Zwei-, Vier- und Acht-Zellen-Stadium
- 790e **Seeigel Entwicklung** (Psammechinus miliaris): Morula-, Blastula- und Gastrula-Stadium
- 791f **Frosch-Entwicklung** (Rana spec.): Schnitt durch das Blastula-Stadium mit primärer Leibeshöhle (Blastocoel)
- 792f **Frosch-Entwicklung** (Rana spec.): Sagittalschnitt durch die junge Larve im Schwanzknospensstadium. Organanlagen

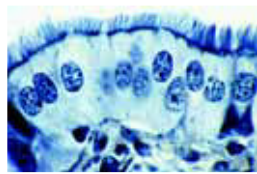
*Ökologie und Umwelt*

- 793e **Nadelblatt der Tanne** (Abies alba), Querschnitte durch gesunde und umweltgeschädigte Blätter zum Vergleich
- 794e **Laubblatt der Buche** (Fagus silvatica), Querschnitte durch gesunde und umweltgeschädigte Blätter zum Vergleich
- 795d **Abwasserbakterien**. Ausstrich mit vielen typischen Formen.

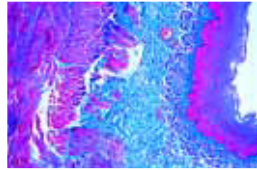
*Botanik*

- 796c **Nostoc, Blaualge**, Kolonien in Gallerthülle, mit Heterocysten
- 797e **Desmidiaceen, Zieralgen**, Streupräparat mit vielen Formen
- 798c **Sphagnum, Torfmoos, Blatt** in Aufsicht: Chlorophyll- und Wasserzellen
- 799c **Triticum, Weizen, Stamm** (Halm) einer Graspflanze, quer. Zentrale Markhöhle, ringförmige Anordnung der Leitbündel
- 800c **Salvia, Salbei, Stamm** quer. Kantenkollenchym

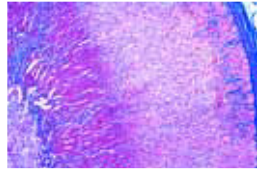
**Nr. 550630 Interaktive CD-ROM mit Arbeitsmaterial zur Schulserie D**



751c



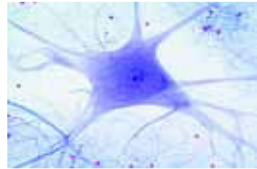
755c



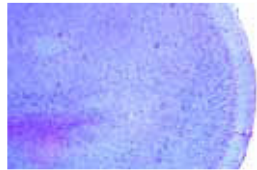
760d



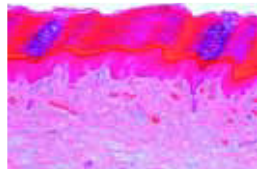
761d



762e



763f



764d



765f



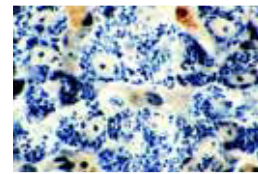
766f



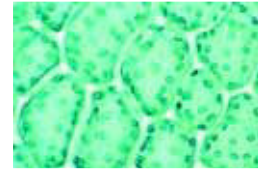
767e



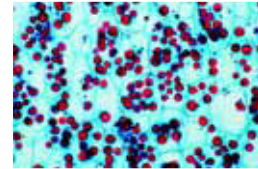
769f



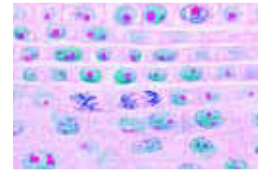
770f



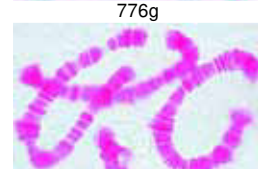
771g



772d



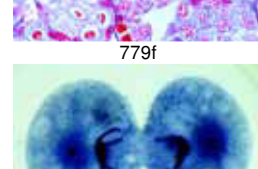
773c



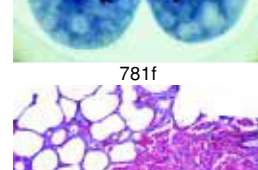
774f



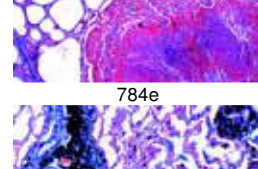
775g



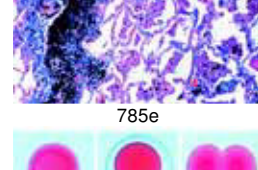
776g



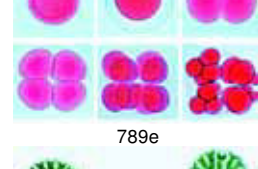
777f



778h



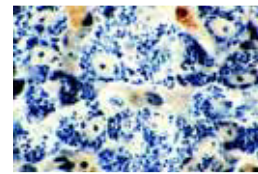
779f



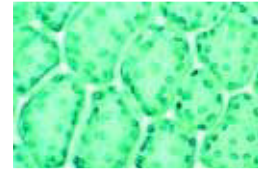
780f



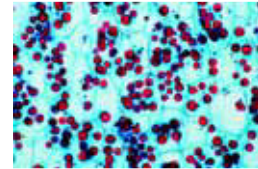
781f



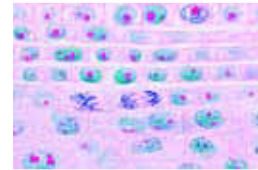
782d



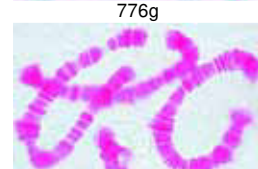
783d



784e



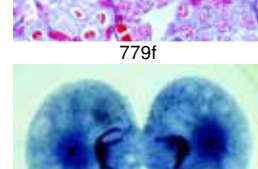
785e



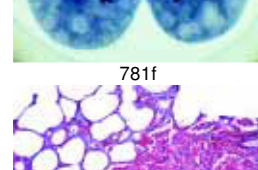
786e



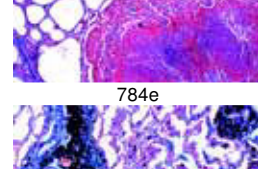
787e



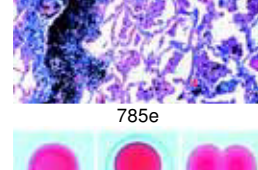
788e



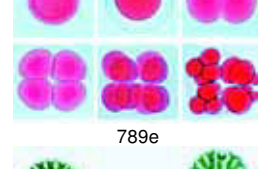
789e



790e



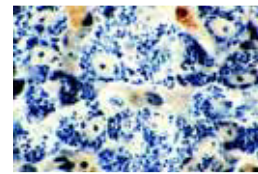
791f



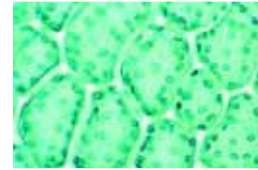
792f



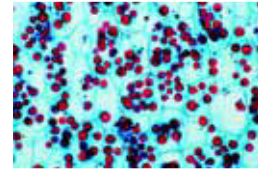
793e



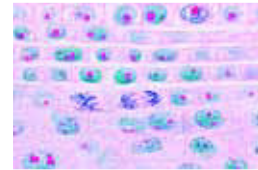
794e



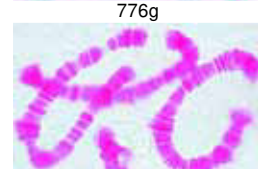
795d



796c



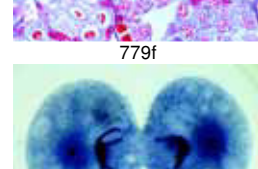
797e



798c



799c



800c